

ODHADY HUSTOTY PRÁVDPODOBNOSTI USEKNUTÉHO ROZDĚLENÍ

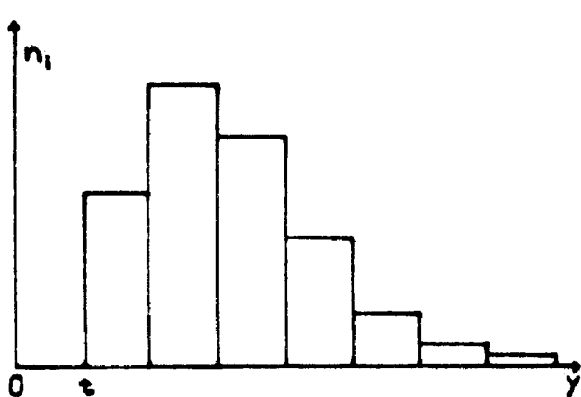
Viktor Beneš

1. Úvod

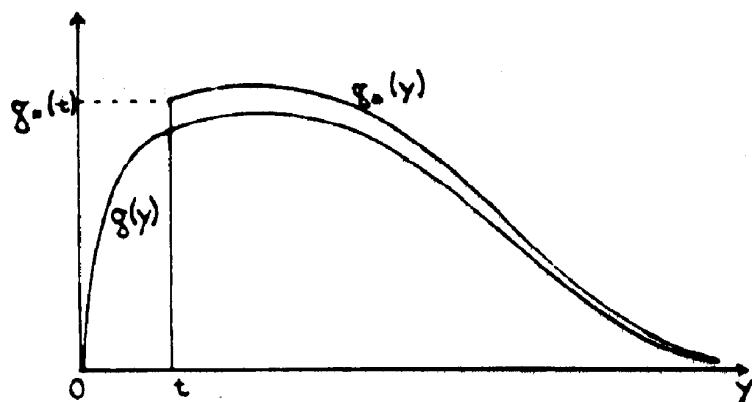
V každě aplikaci získáváme data ve formě usoknutých výběru z neznámé hustoty pravděpodobnosti. Na obr.1 je například histogram četnosti takového sleva usoknutého výběru

$$0 < t \leq y_{(1)} \leq y_{(2)} \leq \dots \leq y_{(n)} \quad (1)$$

který vzniká tím, že vlivem kladné rezilence schopnosti přistrajů. Posuvání menší než bed usoknutí t mejsou do výběru zahrnute a smí nemít znám jejich počet ne rozdíl od výběru cenzurovaných.



Obr.1: Histogram usoknutého výběru



Obr.2: Zleva usoknutá hustota pravděpodobnosti $g_c(y)$

Příspěvek se zabývá metodami odhadu hustoty pravděpodobnosti $g(y)$ neznámého rozdělení na základě výběru (1), tj. výběru ze sleva usoknutého rozdělení s hustotou $g_c(y)$ /viz obr.2/, která je s g vztahem

$$g_c(y) = \frac{g(y)}{1-G(t)}, \text{ pro } t \leq y \quad (2)$$

$$= 0, \text{ pro } y < t,$$

kde G je distribuční funkce příslušná k g . Zřejmě pojde vždy o metody extrapolačního typu, založené na jistých předpokladech regularity či apriorní znalosti chování sledované měřidlné veličiny na intervalu $(0, t)$, neboť ztracenou informaci nelze nahradit pomocí statistické inference. Další výklad je rozdělen do tří kapitol podle typu použitých metod: parametrické, neparametrické a kombinované.

2. Parametrické metody

Odhady parametrů předepsaných hustot pravděpodobnosti na základě usoknutého výběru lze provádět běžnými postupy pomocí metody momentů nebo metody maximální věrohodnosti, pouze řešení příslušných rovnic je obtížnější než v neusoknutém případě. Téměř postupy se zabývala řada autorů již v pedesátých a šedesátých letech, zde uvádíme jediný příklad: použití metody maximální věrohodnosti na odhad parametrů usoknutého normálního rozdělení podle Cehene (1961). Pro výběr (1) budeme

$$\bar{y} = \frac{1}{n} \sum_{i=1}^n y_{(i)}, \quad s^2 = \frac{1}{n-1} \left(\sum_{i=1}^n y_{(i)}^2 - \bar{y}^2 \right) \quad (3)$$

Potom odhady parametrů μ a σ^2 normálního rozdělení mají tvar

$$\hat{\mu} = \bar{y} - \hat{\theta}(\bar{y} - t), \quad \hat{G}^2 = s^2 + \hat{\theta}(\bar{y} - t)^2 \quad (4)$$

kde hodnota $\hat{\theta}$ v závislosti na $\hat{g} = s^2/(\bar{y}-t)^2$ je v citovaném článku tabulována, rovněž jsou tam uvedeny výrazy pro asymptotické rozptyly a kovariance odhadů.

V některých aplikacích se může stát, že bod useknutí t je neznámý. V práci Tate (1959) byl odvozen nestranný odhad bodu useknutí ve tvaru

$$\hat{t} = y_{(1)} - [1 - G(y_{(1)})][ng(y_{(1)})]^{-1} \quad (5)$$

závislý na hustotě pravděpodobnosti g , která je ve většině případů neznámá. Proto se v praxi nejčastěji používá přirozený odhad $\hat{t}=y_{(1)}$, který je pouze asymptoticky nestranný.

3. Nепarametrické metody

Postupy v tomto odstavci jsou založeny na neparametrických odhadech hustoty $g_e(y)$ /viz obr.2/ na intervalu (t, ∞) a extrapolaci parametrickou funkci $g_e(y)$ na intervalu $(0, t)$, přičemž v bodě t se požaduje spojitost, případně i spojitest derivací. Analyticky lze celou extrapolaci proceduru vyjádřit v následujících krocích:

- a/ globální neparametrický odhad hustoty pravděpodobnosti $g_e(y)$, $y \in (t, \infty)$ např. pomocí algoritmu Silvermana (1982).
- b/ lokální neparametrický odhad $\hat{g}_e^{(i)}(t)$, $i=0, 1, \dots, k-1$ je stupeň derivace.
- c/ odhad parametrů zvolené extrapolací funkce $g_e^{(i)}(y, \psi_1, \psi_2, \dots, \psi_k)$, $y \in (0, t)$, řešením systému rovnic $\hat{g}_e^{(i)}(t, \hat{\psi}_1, \dots, \hat{\psi}_k) = \hat{g}_e^{(i+1)}(t)$, $i=0, 1, \dots, k-1$ /na levé resp. pravé straně rovnic jde o derivace zleva resp. zprava/
- d/ výsledné odhady hustoty g mají tvar

$$\begin{aligned} \hat{g}(y) &= \theta g_e(y, \hat{\psi}_1, \dots, \hat{\psi}_k), \quad y \in (0, t) \\ &= \theta g_e(y) \quad , \quad y \geq t \\ \theta &= [1 + \int_0^t g_e(y, \hat{\psi}_1, \dots, \hat{\psi}_k) dy]^{-1}. \end{aligned} \quad (6)$$

Dále se budeme zabývat krokem b/ uvedené procedury, jehož provedení je nejméně zřejmé. V praxi často vystačíme s volbou $k=1$, kdy např. pro nezáporná data s předpokládanou hodnotou $g(0)=0$ se volí g_e jako přímka procházející počátkem. Pro $i=0$ v b/ lze použít dva v literatuře uvedené postupy:

První z nich budeme nazývat W-odhad, byl odvozen v práci Swanepoel, Wyk (1981).

$$\hat{g}_w(t) = (r_{n-1})[(n+1)(y_{(r_n)} - y_{(1)})]^{-1} \quad (7)$$

Platí, že pro $r_n/n \downarrow 0$, $r_n^{-1} \log n = o(1)$ je $\hat{g}_w(t) \rightarrow g_e(t)$ skoro jistě při $n \rightarrow \infty$. Dále pro $r_n = o(n^{2/3})$ je $\sqrt{r_n}(g_e(t)/\hat{g}_w(t) - 1) \xrightarrow{D} N(0, 1)$ /konvergence v distribuci k normálnímu rozdělení/. Při praktickém použití odhadu (7) se volí obyčejně r_n rovno celé číslo $n^{2/3}$. Ukažuje se, že u jednovrcholových hustot vychýlení odhadu klesá s bodem useknutí blížícím se zleva k modu.

Druhý odhad je jádrový, odvozený Falkem (1984). Necht' $0 < h_n \rightarrow 0$ pro $n \rightarrow \infty$ a jádro K splňuje $\int_{-\infty}^{\infty} K(x) dx = 1$. Tvar jádrového odhadu je standardní:

$$\hat{g}_n(t) = \frac{1}{nh_n} \sum_{i=1}^n K\left(\frac{y_{(i)} - y_{(1)}}{h_n}\right) \quad (8)$$

V citované práci je dokázáno asymptotická normalita odhadu (8) pro volbu jádra $K(x) = e^{-|x|} I_{(0, \infty)}(x)$, při splnění podmínky $nh_n^3 \rightarrow 0$, ve tvaru

$$\sqrt{nh} [\hat{g}_n(t) - g_n(t)] \xrightarrow{D} N(0, f(t)/2).$$

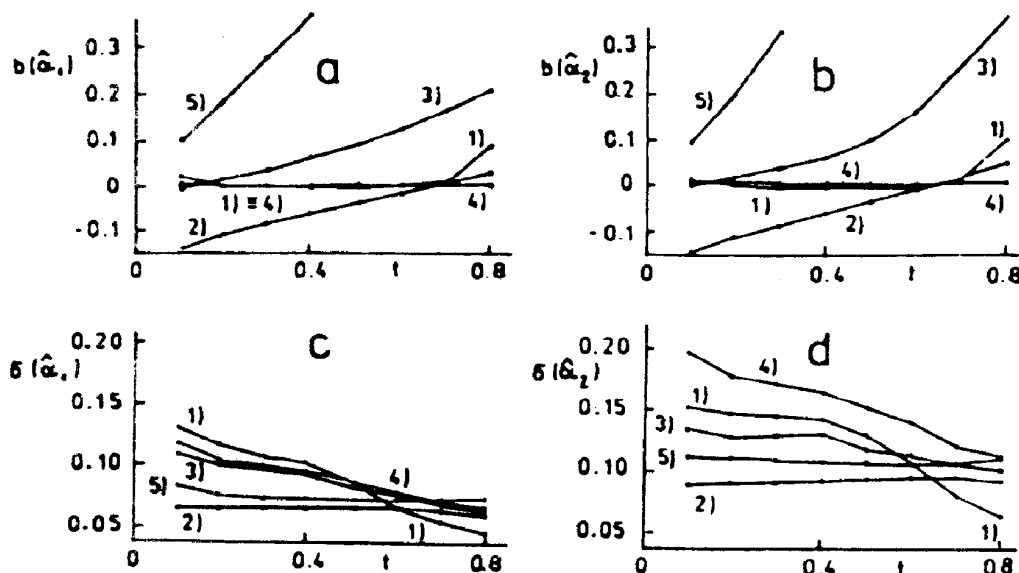
Před diskusí možností praktického použití odhadu (8) uvádíme výsledky simulační studie z práce Beneše (1987), ve které jsou posouzeny statistické vlastnosti obou odhadů (7), (8) ještě s dalšími metodami včetně parametrických. Simulovaná data v konkrétní aplikaci vycházejí z dané hustoty pravděpodobnosti fyzikálně odváděnitelné a umožňují porovnání s teoretickými výsledky.

Příklad 1: Uvažme trojrozměrný neprůhledný materiálový vzorek, ve kterém jsou v matrici umístěny částice kulového tvaru s náhodným průměrem, jehož první dva ebené momenty α_1, α_2 chceme odhadnout. Předpokládá se, že náhodný bodový proces středu částic je stacionární a nezávislý na průměrech částic. V rovině řezu vzorku pozorujeme kruhové řasy částic, jejichž průměry mají hustotu pravděpodobnosti $g(y)$ a momenty β_1 . Předpokládejme, že precipitate částic se řídí Ardell-Lifschitz-Slyzovým zákonem s hustotou pravděpodobnosti průměru $f(x)=24\mu^3/(2\mu-x)^5 \exp[-3x/(2\mu-x)]$, $0 \leq x \leq 2\mu$, odsud se pomocí rovnice $g(y)=y\alpha_1^{-1} \int f(x)(x^2-y^2)^{-1/2} dx$ stanoví $g(y)$.

Předpokládejme vliv kladné reališovací schopnosti při měření, tj. řasy s průměrem menším než t nelze pozorovat. Pro pevné $\mu=1$ byly z $g(y)$ opakováně simulovaný uskutčně výběry tvaru (1) s cílem porovnat následující metody odhadu α_1, α_2 :

- 1/ Při volbě lineární extrapolace $\hat{g}_n(y, \psi) = \psi y$ lze z (6) a z výše uvedené integrální rovnice odvodit odhady $\hat{\alpha}_1 = nc(\lg_n(t)/2+1)/2, \hat{\alpha}_2 = 2c(t^2 g_n(t)/3 + \beta_1^2)$, kde platí $c = (g_n(t) + \beta_1^2)^{-1}$. Hlavně $g_n(t)$ byla odhadnuta pomocí (8) s volbou h_n approximativně optimálního vzhledem ke střední kvadratické chybě: $h_n = \sqrt[3]{g(t)[\frac{1}{4}(t^2 - 2n)]^{-1}}$
- 2/ Stejně jako v 1/, pouze s užitím (7) místo (8).
- 3/ Odhad tvaru $\hat{\alpha}_r = \hat{\alpha}_r^t / \hat{\alpha}_0^t$, $r=1,2$, kde uskutčně momenty $\alpha_r^t = \int_0^\infty x^r f(x) dx$ jsou odhadnutý podle Jakemana a Anderasena (1975).
- 4/ $\hat{\alpha}_1 = 8\mu/9, \hat{\alpha}_2 = 8\mu^2/9$, kde μ je odhad parametru μ získaný momentovou metodou srovnáním teoretických a odhadnoutých hodnot podílu α_r^t / α_0^t .
- 5/ Zanedbání uskutčně řešení pomocí odhadu $\hat{\beta}_T = n^{-1} \sum y_{(1)}^r$.

Na základě $n=500$ pseudonáhodných výběrů rozsahu $n=100$ na každé z úrovní $t=0.1k$, $k=1, 2, \dots, 8$, tj. mezi nulou a modelem hustoty g , jsou na obr. 3 znázorněny grafy vychýlení $b(\hat{\alpha}_r)$ a směrodatných odchylek $S(\hat{\alpha}_r)$, $r=1, 2$, odhadů momentů v závislosti na t . Malé vychýlení metod 1/ a 4/ plyne ze znalosti rozdělení g , v případě jeho neznalosti nastávají potíže s volbou h_n . Vlastnosti odhadu 2/ jsou též



Obr. 3: a/ vychýlení $\hat{\alpha}_1$, b/ vychýlení $\hat{\alpha}_2$, c/ směrodatná odchylka $\hat{\alpha}_1$, d/ směrodatná odchylka $\hat{\alpha}_2$.

uspokojivě a učinuje se, že neparametrické metody jsou schopny nahradit metody parametrické v dané situaci.

Simulační studie potvrdila teoretické vlastnosti odhadů (7) a (8), především fakt, že vychýlení s rostoucím bodem useknutí neroste. Pro velmi malá t lze naopak vliv useknutí zanedbat. Rád konvergence obou odhadů je $n^{-1/3}$.

Zobecnění vztahu (7) pro i-tou derivaci v bodě t tvaru

$$\hat{g}_n^{(i)}(t) = \frac{(-1)^i}{nb_n^{1+i}} \sum_{j=1}^n K^{(i)}\left(\frac{y_j - t}{b_n}\right) \quad (9)$$

je asymptoticky nestranným odhadem pro $\int x^j K^{(i)}(x) dx = 0$ pro $j < i$, $= (-1)^i$ pro $j = i$ a $< \infty$ pro $j > i$. Konsistence je zaručena při $\lim nb_n^{2i+1} = \infty$ a okno

$$b_n = \left\{ \frac{(2i+1) K^{(i)}(t)}{2n [g_n^{(i+1)}(t)]^2} \int y K(y) dy \right\}^{\frac{1}{2i+3}} \quad (10)$$

je asymptoticky optimální vzhledem ke střední kvadratické chybě (9). Pro praktické použití odhadu (9) by bylo možné k volbě okna použít analogii Sheaterovy (1986) metody, která byla odvozena pro neuseknuté rozdělení. Pro $i > 0$ to ovšem představuje náročný výpočet a kvality odhadu nejsou dobré. Proto lze závěrem doporučit užívání jednoparametrické extrapolační funkce a odhadu (7).

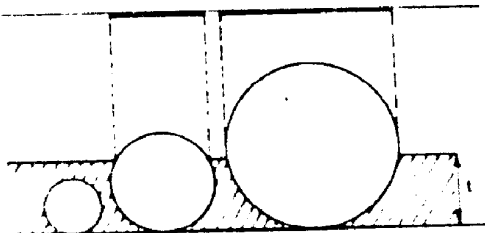
4. Kombinované metody

V této kapitole se omezíme na jednu ukázkou z aplikace, kde jsou kombinovány parametrické i neparametrické metody odhadu. Blížší podrobnosti lze najít v práci Horálek, Beneš (1988). Při impaktních metodách výzkumu sušení rozprášováním se částice ze správy zachycují na podložce s tenkou vrstvou kapaliny tloušťky t . V případě penovení kapiček a neprůhlednosti kapaliny vzniká model z obr.4, kdy na fotografií podložky pozorujeme kruhové objekty, drobné kapičky nejsou pozorovány. Transformace mísí průměry částic resp. kruhů s hustotami pravděpodobnosti f, g je

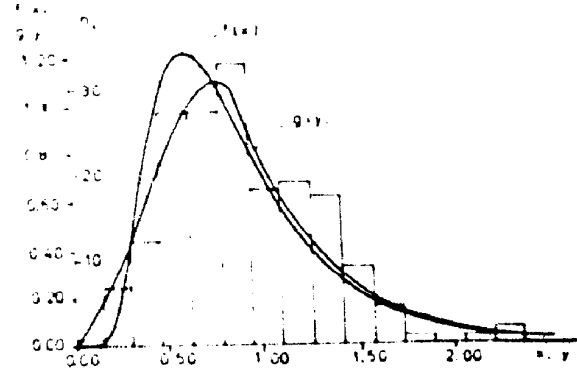
$$g(y) = y \{2t[1-F(t)]\}^{-1} f[(y^2 + 4t^2)/4t], \quad 0 < y \leq 2t, \quad = f(y)/[1-F(t)], \quad 2t < y. \quad (11)$$

Předpokládejme, že rozdělení f je logaritmicko-normální, cílem je na základě měřených průměrů kruhů $\{y_i\}, i=1, \dots, n$, odhadnout jeho parametry μ, σ^2 . Je-li t známé, je úloha po transformaci $x_i = (y_i^2 + 4t^2)/4t, 0 < y_i \leq 2t, x_i = y_i, y_i > 2t$, řešitelná Cohenovou metodou z kapitoly 2. Pro t neznámé bylo užito kombinace momentové metody a K -odhadu (7), kterým byl vyloučen parametr σ^2 . Odhad zbylých neznámých t, μ byl získán numerickým řešením soustavy momentových rovnic. Na obr.5 je výsledek zpracování výběru rozsahu $n=180$ /histogram/, odhad g a výsledný tvar f .

Obr.4: Model pro impaktní experiment



Obr.5: Numerický příklad



Literatura:

- Beneš V (1987) Acta Stereol. 6/III, 185-190
- Cohen AC (1961) Technometrics 3, 535-541
- Falk M (1984) S.Afr.Statist.J. 18, 91-96
- Horálek V, Beneš V (1988) Metrika 35, 63-76
- Jakeman AJ, Anderson RS (1975) J. Microscopy 105, 121-133
- Sheather SJ (1986) Comp. Statist. & Data Anal. 4, 61-65
- Silverman J (1982) Appl. Statist. 31, 176
- Swanepeol JWH, Wyk JWJ (1981) S.Afr.Statist.J. 15, 167-172
- Tate RF (1959) Ann. Math. Stat. 30, 341-366